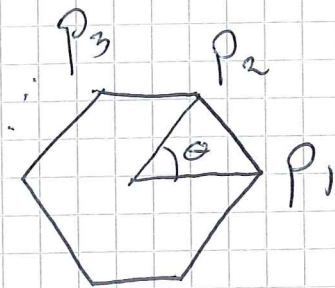


14.



For en regulær  $n$ -kant er vinkelen mellom to punkter på samme kant lik  $\theta = \frac{2\pi}{n}$ . Alle punkter har samme lengde fra origo.

Vi kan dermed skrive  $p_2 = p_0 p_1$ ,

$p_3 = p_0^2 p_1, \dots$ . Generelt:  $p_k = p_0^{k-1} p_1$ .

Med andre ord får vi alle punktene ved å rotere  $p_1$  med multipler av  $\theta$ .

Massepunktet er definert ved

~~$$m = \frac{1}{n} \sum_{k=1}^n p_k$$

$$\Rightarrow m = \frac{1}{n} \sum_{k=1}^n p_0^{k-1} p_1$$~~

$$\Rightarrow m = \frac{1}{n} (p_1 + p_0 p_1 + p_0^2 p_1 + \dots + p_0^{n-1} p_1)$$

~~$$m = \frac{1}{n} p_1 (1 + p_0 + p_0^2 + \dots + p_0^{n-1})$$~~

Rotasjonsisometriene er ~~ikke~~ lineære,  
så vi kan skrive

$$p_1 + p_0 p_1 + p_0^2 p_1 + \dots + p_0^{n-1} p_1 \\ = (I + p_0 + p_0^2 + \dots + p_0^{n-1}) p_1,$$

der  $I$  er identitetsmatrisen.

$$\text{Merk at } (I - p_0)(I + p_0 + \dots + p_0^{n-1}) \\ = (I + p_0 + \dots + p_0^{n-1}) - (p_0 + p_0^2 + \dots + p_0^n) \\ = I - p_0^n = I - p_{n0} = I - p_{2\pi} \\ = I - I = 0.$$

Men  $I - p_0$  er en invertibel matrise

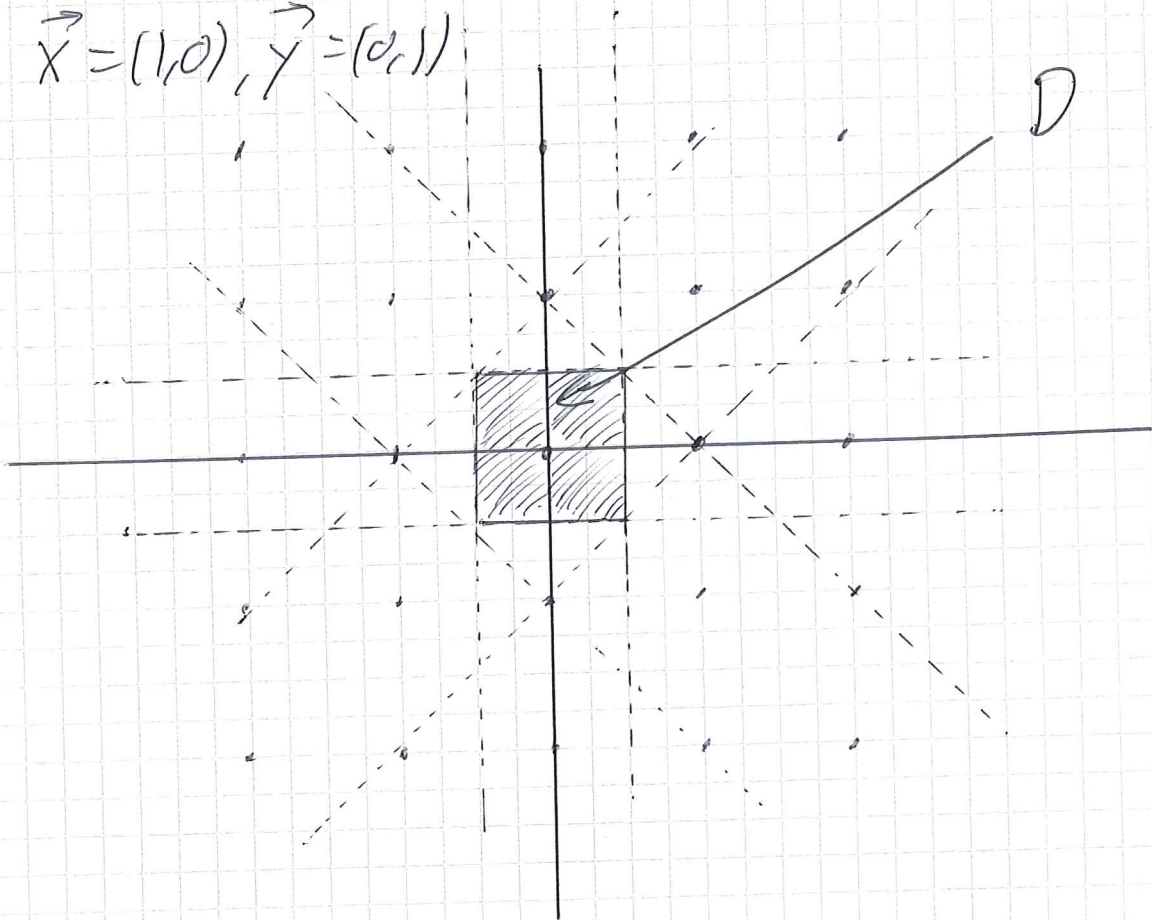
fordi hvis  $(I - p_0)\vec{x} = 0 \Rightarrow I\vec{x} = p_0\vec{x} \\ \Rightarrow \vec{x} = p_0\vec{x}$  som er umulig med mindre  
 $\vec{x} = 0$ .

Det betyr at matrisen  $I + p_0 + \dots + p_0^{n-1} = 0$ .  
Altså er  $m = \frac{1}{n}(I + p_0 + \dots + p_0^{n-1})p_1 = 0$ .

Massepunktet er dermed origo.

15.  $M = \{m\vec{x} + n\vec{y} \mid m, n \in \mathbb{Z}\}$

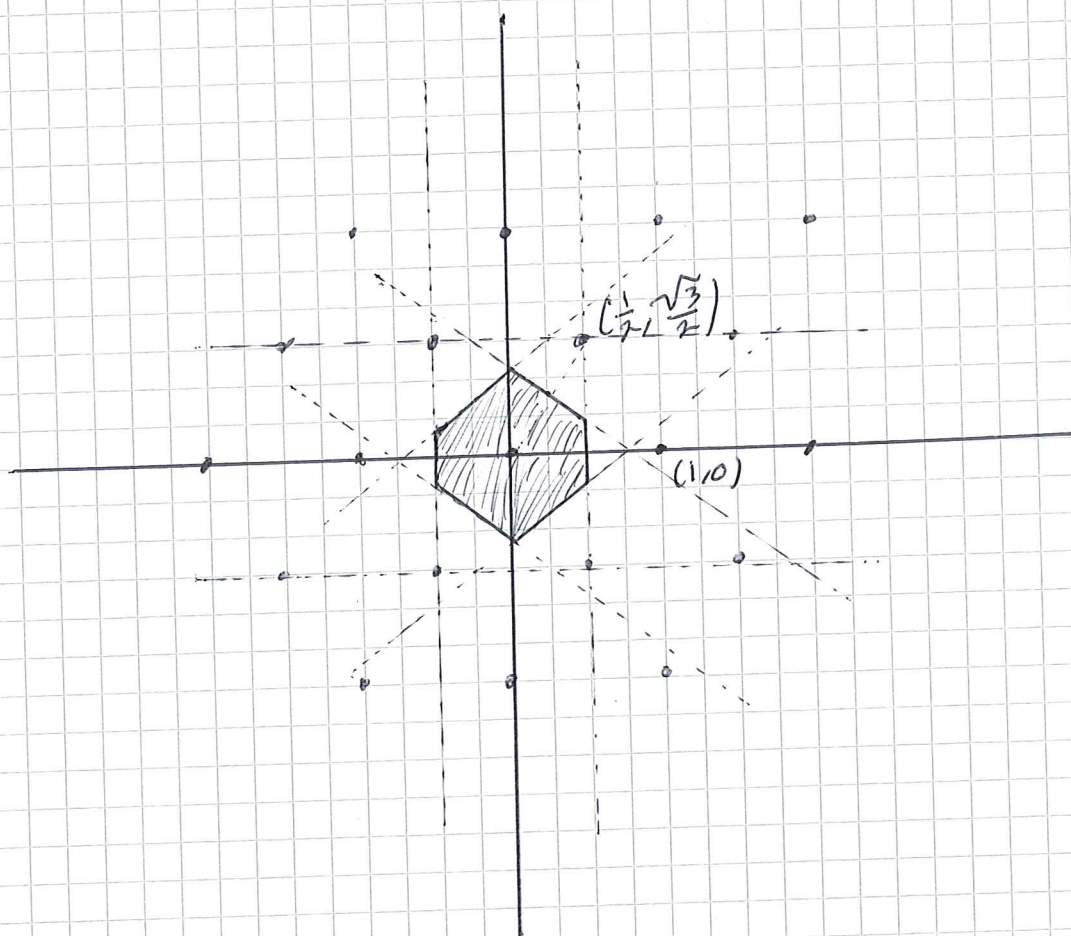
a)  $\vec{x} = (1, 0), \vec{y} = (0, 1)$



Vi kan finne grenseområdet til  $D$  ved å trekke linjere som går midt mellom origo og hvert av de andre gitterpunktene. Over her har vi tegnet inn linjere mellom origo og de 8 nærmeste punktene. Dirichlet-området er ~~den siden av~~ ~~den~~ siden av linjene som origo ligger på. Vi gjør det tilsvarende på b) og c).

Ågen Dirichlet området her velir et kvadrat  
med hjørner  $(\frac{1}{2}, \frac{1}{2}), (\frac{1}{2}, -\frac{1}{2}), (-\frac{1}{2}, -\frac{1}{2}), (-\frac{1}{2}, \frac{1}{2})$ .  
Dette er en regulær firkant som har  
symmetrigruppe  $D_4$ , den dihedrale  
gruppen.

$$b) \vec{x} = (1, 0), \vec{y} = \left(\frac{1}{2}, \frac{\sqrt{3}}{2}\right)$$

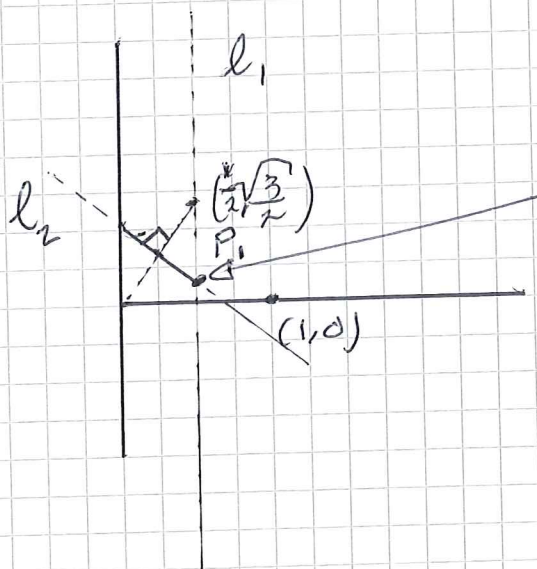


~~Dirichlet~~ Dirichlet-området blir en 6-kant.



NB! I plenums regningen ble løsningen litt feil. Dirichlet-området blir en regulær 6-kant.

For å finne ut av om ~~seks-~~ <sup>seks-</sup> kanten er regulær eller ikke, finner vi hjørnene. Først ser vi på hjørnet i første kvadrant.



Vi er ute etter koordinatene til dette hjørnet. Kall det  $P_1$ .

P er skjæringspunktet mellom linjene

$l_1: x = \frac{1}{2}$ , og  $l_2$ : Midt normalen til linjestykket mellom  $(0,0)$  og  $(\frac{1}{2}, \frac{\sqrt{3}}{2})$ .

Normalvektoren til  $\vec{v} = (\frac{1}{2}, \frac{\sqrt{3}}{2})$  er

$\vec{n} = (\frac{\sqrt{3}}{2}, -\frac{1}{2})$ . (Siden  $\vec{n} \cdot \vec{v} = 0$ ).

Midtpunktet er  $\frac{1}{2} \vec{v} = (\frac{1}{4}, \frac{\sqrt{3}}{4})$ .

Linja blir da på formen

$$l_2 = \left\{ \left( \frac{1}{4}, \frac{\sqrt{3}}{4} \right) + t \left( \frac{\sqrt{3}}{2}, -\frac{1}{2} \right) \mid t \in \mathbb{R} \right\}$$
$$= \left\{ \left( \frac{1}{4} + \frac{\sqrt{3}}{2}t, \frac{\sqrt{3}}{4} - \frac{t}{2} \right) \mid t \in \mathbb{R} \right\}$$

$l_1$  skjærer  $l_2$ , når  $x = \frac{1}{4} + \frac{\sqrt{3}}{2}t = \frac{1}{2}$ .

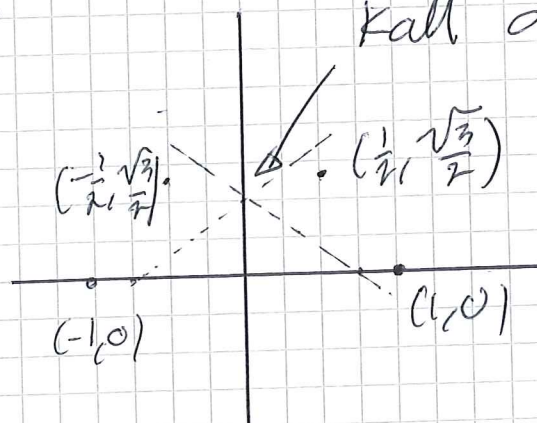
$$\frac{1}{4} + \frac{\sqrt{3}}{2}t = \frac{1}{2} \Rightarrow \frac{\sqrt{3}}{2}t = \frac{1}{2} - \frac{1}{4} = \frac{1}{4}$$

$$\Rightarrow \sqrt{3}t = \frac{1}{2} \Rightarrow t = \frac{1}{2\sqrt{3}} = \frac{\sqrt{3}}{6}$$

$$\Rightarrow P_1 = \left( \frac{1}{4} + \frac{\sqrt{3}}{2} \cdot \frac{1}{2\sqrt{3}}, \frac{\sqrt{3}}{4} - \frac{\sqrt{3}}{6} \cdot \frac{1}{2} \right)$$

$$= \left( \frac{1}{4} + \frac{1}{4}, \frac{\sqrt{3}}{4} - \frac{\sqrt{3}}{12} \right) = \left( \frac{1}{2}, \frac{\sqrt{3}}{6} \right)$$

Nå ser vi på hjørnet på den positive  $x_2$ -aksen:



Av symmetri er  $P_2$  skjæringspunktet mellom  $X_2$ -aksen og  $l_2$ . Dvs når

$$\cancel{\frac{1}{4}} X = \frac{1}{4} + \frac{\sqrt{3}}{2} t = 0.$$

$$\frac{1}{4} + \frac{\sqrt{3}}{2} t = 0 \Rightarrow \frac{\sqrt{3}}{2} t = -\frac{1}{4} \Rightarrow t = -\frac{1}{2\sqrt{3}} = -\frac{\sqrt{3}}{6}.$$

$$\begin{aligned} \Rightarrow P_2 &= \left( \frac{1}{4} - \frac{\sqrt{3}}{2} \left( -\frac{1}{2\sqrt{3}} \right), \frac{\sqrt{3}}{4} - \frac{1}{2} \left( -\frac{\sqrt{3}}{6} \right) \right) \\ &= \left( 0, \frac{\sqrt{3}}{4} + \frac{\sqrt{3}}{12} \right) = \left( 0, \frac{4\sqrt{3}}{12} \right) = \underline{\underline{\left( 0, \frac{\sqrt{3}}{3} \right)}} \end{aligned}$$

Lengden på sidefonten  $P_1 P_2$  er

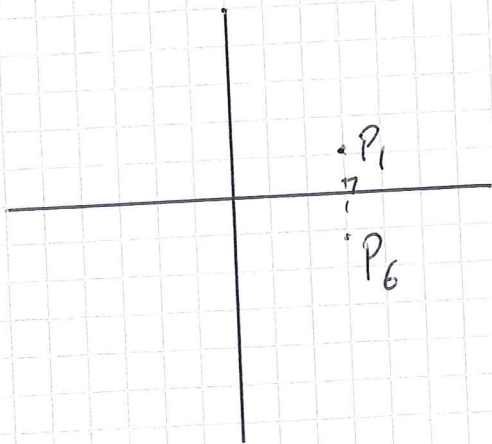
$$\begin{aligned} \cancel{\frac{3}{4}} \quad \cancel{\frac{\sqrt{3}}{4}} \quad \cancel{\| \vec{P}_1 - \vec{P}_2 \|} &= \left\| \begin{pmatrix} \frac{3}{4} \\ \frac{\sqrt{3}}{12} \end{pmatrix} - \begin{pmatrix} 0 \\ \frac{\sqrt{3}}{3} \end{pmatrix} \right\| \\ &= \left\| \begin{pmatrix} \frac{3}{4} \\ \frac{\sqrt{3}}{12} - \frac{\sqrt{3}}{3} \end{pmatrix} \right\| = \left\| \begin{pmatrix} \frac{3}{4} \\ -\frac{2\sqrt{3}}{12} \end{pmatrix} \right\| = \left\| \begin{pmatrix} \frac{3}{4} \\ -\frac{\sqrt{3}}{6} \end{pmatrix} \right\| \\ &= \sqrt{\left( \frac{3}{4} \right)^2 + \left( \frac{\sqrt{3}}{6} \right)^2} = \sqrt{\frac{9}{16} + \frac{3}{36}} = \sqrt{\frac{12}{16}} = \sqrt{\frac{3}{4}} = \underline{\underline{\frac{\sqrt{3}}{2}}} \end{aligned}$$



Lengden på sidekanten  $P_1, P_2$  er  $\|\vec{P}_1 - \vec{P}_2\| =$

$$\begin{aligned}\|(\frac{1}{2}, \frac{\sqrt{3}}{6}) - (0, \frac{\sqrt{3}}{3})\| &= \|(\frac{1}{2}, -\frac{\sqrt{3}}{6})\| \\ &= \sqrt{(\frac{1}{2})^2 + (\frac{\sqrt{3}}{6})^2} \\ &= \sqrt{\frac{1}{4} + \frac{3}{36}} = \sqrt{\frac{1}{4} + \frac{1}{12}} \\ &= \sqrt{\frac{4}{12}} = \frac{2}{2\sqrt{3}} = \underline{\underline{\frac{\sqrt{3}}{3}}}\end{aligned}$$

Av symmetri i igjen er hjørnet i den fjerde kvadranten  $P_6 = (\frac{1}{2}, -\frac{\sqrt{3}}{6})$

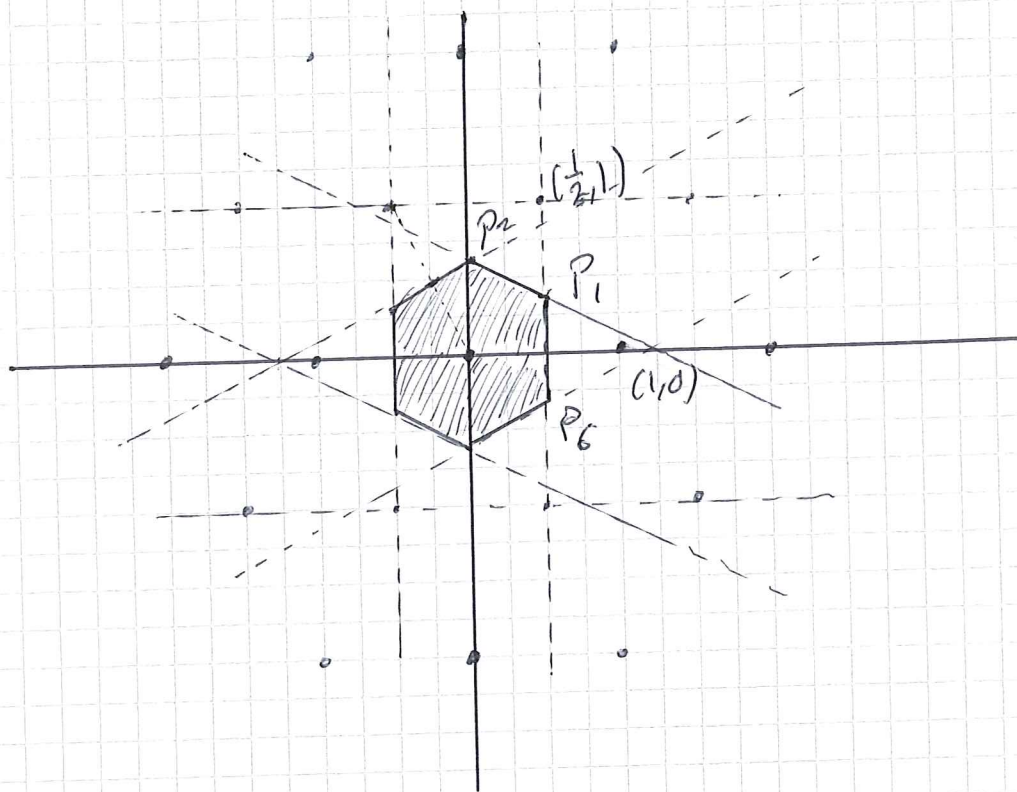


Lengden mellom  $P_1$  og  $P_6$  er

$$\|\vec{P}_1 - \vec{P}_6\| = \|(\frac{1}{2}, \frac{\sqrt{3}}{6}) - (\frac{1}{2}, -\frac{\sqrt{3}}{6})\| = \|(0, \frac{\sqrt{3}}{3})\| = \frac{\sqrt{3}}{3}$$

Altså er den sidekantene  $P_1P_2$  og  $P_1P_6$  like  
lange. Av symmetri i figuren ser vi at  
det blir tilsvarende for de andre sidekantene.  
Dirichletområdet blir da en regulær  
sekskant med symmetri gruppe  $D_6$ .

c)  $\vec{x} = (1, 0)$ ,  $\vec{y} = (\frac{1}{2}, 1)$



Dirichletområdet er en ikke-regulær 6-kant. Viser at symmetriene er de samme som i  $W$ . Dvs at symmetri-gruppen er  $D_2$ .

På tilsvarende måde som i  $W$  kan man regne at side længdene. Man får da at f.eks at  $P_1P_2$  og  $P_1P_6$  har forskellige længder.

16. En diskret undergruppe av  $O(2)$  er en gruppe  $G$  inneholdt i  $O(2)$  s.d. det finnes en  $\varepsilon > 0$  s.d. hvis  $p_\theta \in G$ , og  $\theta \neq 0$ , så er  $|\theta| \geq \varepsilon$ .

Merk ~~Anta~~ at  $G$  inneholder minst en <sup>f. eks  $\theta = 2\pi$</sup>  Definer rotasjon  $p_\theta$  med  $\theta \neq 0$ .

$$\delta = \inf \{ |\theta| : p_\theta \in G, \theta \neq 0 \}.$$

Siden  $p_\theta$  ~~er~~  $|\theta| \geq \varepsilon$  for alle  $\theta \neq 0$  s.d.  $p_\theta \in G$ , må  $\delta \geq \varepsilon > 0$ .

La  $\{\theta_n\}_{n \geq 1}$  være en ~~st~~ synkende følge av vinkler  $\theta_n \neq 0$  s.d.  $p_{\theta_n} \in G$  som konvergerer mot  $\delta$ .

Da er  $\{\theta_n\}_{n \geq 1}$  en Cauchy-følge, og det finnes dermed en et

naturlig tall  $N$  slik at

$$|\theta_n - \theta_m| < \delta \text{ for alle } n, m \geq N.$$

Velg nå en slik  $N$ . Da er

$$\theta_N - \theta_{N+k} = |\theta_N - \theta_{N+k}| < \delta \text{ for alle}$$

$$k \geq 1.$$

Men  $p_{\theta_N}$  og  $p_{\theta_{N+k}}$  er indeholdt i  $G$ .

~~$p_{\theta_{N+1}}$  og  $p_{\theta_{N+2}}$~~  Da er inversen

$p_{\theta_{N+k}}^{-1} = p_{-\theta_{N+k}}$  også indeholdt i  $G$ ,

og dermed er  $p_{\theta_N} p_{-\theta_{N+k}} = p_{\theta_N - \theta_{N+k}} \in G$ .

Men  $|\theta_N - \theta_{N+k}| < \delta$ , som er umulig  
per definitionen af  $\delta$ , med mindre

$$\theta_N - \theta_{N+k} = 0, \text{ dvs } \theta_N = \theta_{N+k}.$$

Dette gælder alle  $k \geq 1$ , så det betyder at

$$\theta_N = \theta_{N+1} = \theta_{N+2} = \dots \quad \text{Dvs følger}$$

$\{\theta_n\}_{n \geq 1}$  er stationær og må folgelig

konvergere mod  $\theta_N$ . Det betyder at

$|\theta_N| = \delta$ . M.a.o. findes det en mindst  
vinkel  $\theta \neq 0$  slik at  $p_\theta \in G$ . (Dvs, mindst  
absoluttve)

Vi kan antage at denne vinkelen er  
positiv. (Hvis ikke, velg bare  $-\theta$   
i stedet).

La nå  $\varphi$  være en vilkårlig vinkel  
der  $p_\varphi \in G$ . Da finnes det et heltall

$n$  slik at  ~~$(n-1)\theta < \varphi < n\theta$~~

$$n\theta \leq \varphi < (n+1)\theta.$$

$$\Rightarrow 0 \leq \varphi - n\theta < \theta$$

$$\Rightarrow 0 \leq |\varphi - n\theta| < |\theta|. \quad \text{Vinkelen } \theta$$

~~har den minste absolutte verdien.~~

Av et tilsvarende argument som over

er  $p_{\varphi - n\theta} \in G$ . Men  $\theta$  er vinkelen ulik

0 med minst absolutte-verdi, så det betyr

at  $\varphi - n\theta = 0 \Rightarrow \varphi = n\theta$ . Altså er

alle vinkler ~~et multi~~  $\varphi$  hvor  $p_\varphi \in G$

et multiplum av  $\theta$ . Spesielt er

$p_{2\pi} = \text{id} \in G$ , så  $2\pi$  er også

et multiplum av  $\theta$ . Dvs at  $\theta = \frac{2\pi}{n}$

for et eller annet heltall  $n > 0$ .

Vi har dermed kommet fram til at alle rotasjoner over  $i \in G$  er på formen

$$\text{På } P_{2k\pi/n} \text{ for } k=0,1,\dots,n-1.$$

La nå  $S_e \in G$  være en speiling.

Hvis  $S_{e'} \in G$  er en speiling for en annen linje  $l'$ , så er  $S_e S_{e'} \in G$

orienteringsbevarende. Altså er

$$S_e S_{e'} = P_{2k\pi/n} \text{ for en eller annen } k=0,\dots,n-1.$$

~~$$\Rightarrow S_e S_{e'} S_{e'} = P_{2k\pi/n} S_e$$~~

$$\Rightarrow S_e S_e S_{e'} = S_e P_{2k\pi/n}$$

$$\Rightarrow S_{e'} = S_e P_{2k\pi/n}$$

Dette betyr at hvis  $G$  har speilingen overhodet, så er alle på formen

$$S_e P_{2k\pi/n} \text{ for en eller annen utvalgt}$$

speiling  $S_e \in G$ .

Alle isometrier i  $G$  har origo som fikspunkt, og er dermed enten spejlinger eller rotationer. ~~Det~~ Det betyder at vi har fundet alle mulige elementer i  $G$ .

1)  $P_{\frac{2k\pi}{n}}$ ,  $k=0, \dots, n-1$

2) Hvis  $G$  har en spejling  $S \in G$ ,

$S \circ P_{\frac{2k\pi}{n}}$ ,  $k=0, \dots, n-1$ .

Dette er endelig mange uanset.



17. Et fundamentalområde  $D$  til en gruppe  $G \subseteq \text{Isom}_2$  en en lukket delmængde  $\sqrt{\quad}$  slik at  $\text{randa}$  er en stykkevis glatt kurve og

$$i) E^2 = \bigcup_{g \in G} g(D)$$

ii) Det indre  $\text{int}(g(D) \cap h(D)) = \emptyset$  når  $g \neq h$ .

Vi har en diskret undergruppe  $G \subseteq \text{Isom}_2$  med hvor rangen til  $L_G$  er 2.

Her er  $L_G \subseteq G$  undergruppen af translationer, og  $M_G = \{m\vec{a} + n\vec{b} \mid m, n \in \mathbb{Z}\}$  for to ~~lineært uafhængige~~ vektorer  $\vec{a}, \vec{b}$ .  
lineært uafhængige

Dirichetområdet  $D_G$  er gitt ved

$$D_G = \{p \in E^2 \mid d(p, \vec{0}) \leq d(p, q) \forall q \in M_G, q \neq \vec{0}\}$$

Vi skal vise at  $D_G$  er et fundamentalområde til  $L_G$ .

La nå  $g \in L_G$ . Da er

$$g(D_G) = \{g(p) \mid d(p, \vec{0}) \leq d(p, q) \forall q \in M_G \setminus \{0\}\}$$

Skriver vi  $p' = g(p)$ , er  $p = g^{-1}(p')$ , så:

$$g(D_G) = \{p' \mid d(g^{-1}(p'), \vec{0}) \leq d(g^{-1}(p'), q) \forall q \in M_G \setminus \{0\}\}$$

~~g~~ er en isometri, så

$$d(g^{-1}(p'), \vec{0}) = d(p', g(\vec{0})) \text{ og}$$

$$d(g^{-1}(p'), q) = d(p', g(q)).$$

Skriver  $q' = g(q)$ . Da er  ~~$q \in M_G \setminus \{0\}$~~

$$\Leftrightarrow q \in M_G \setminus \{0\} \Leftrightarrow q' \in M_G \setminus g(\vec{0}).$$

$$\Rightarrow g(D_G) = \{p' \in E^2 \mid d(p', g(\vec{0})) \leq d(p', q') \forall q' \in \underbrace{M_G \setminus g(\vec{0})}_{\substack{\uparrow \\ M_G \setminus g(\vec{0})}}\}$$

Prøv at  $g(D_G)$  består af punkterne  
nærmest gitterpunktet  $g(\vec{0})$ .

men alle punkter er nærmest et eller  
andet gitterpunkt (Siden gitterpunkterne  
er jævnt fordelt i planet). Det  
betyr at et hvert punkt  $p \in E^2$  ligger  
i  $g(D_G)$  for ~~en eller~~ den  $g \in LG$   
slik at  $p$  er nærmest  $g(\vec{0})$ .

M.a.o. er  $E^2 = \bigcup_{g \in LG} g(D_G)$ .

Vi ser nå på mængdene  $g(D_G)$  og  $h(D_G)$   
for  $g \neq h$ . Anta at  $p \in g(D_G) \cap h(D_G)$ .

Da har vi at

$$d(p, g(\vec{0})) \leq d(p, q) \quad \forall q \in M_G \setminus g(\vec{0}) \text{ og}$$

$$d(p, h(\vec{0})) \leq d(p, q) \quad \forall q \in M_G \setminus h(\vec{0}).$$

~~Altså er  $p$  nærmest både  $g(\vec{0})$  og  $h(\vec{0})$~~

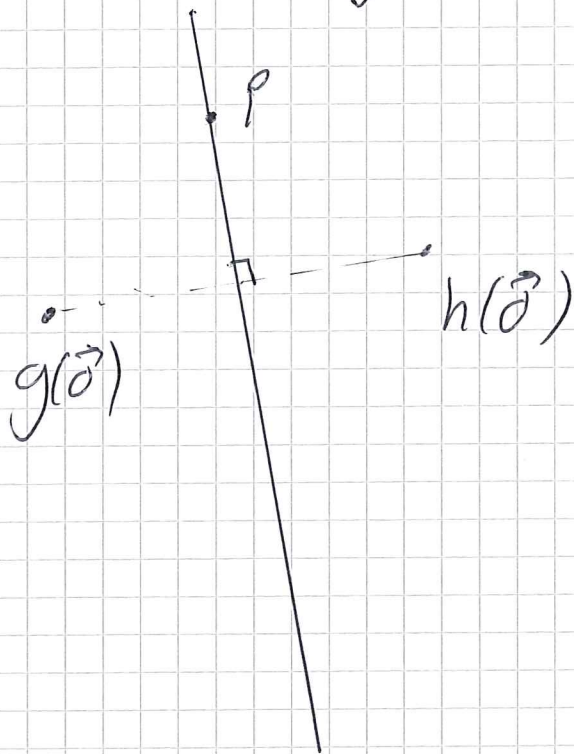
Spesielt har vi at a

$$d(p, g(\vec{0})) \leq d(p, h(\vec{0})) \text{ og}$$

$$d(p, h(\vec{0})) \leq d(p, g(\vec{0}))$$

$$\Rightarrow d(p, g(\vec{o})) \leq d(p, h(\vec{o})).$$

Det betyr at  $p$  må ligge på linja  
midt mellom  $g(\vec{o})$  og  $h(\vec{o})$

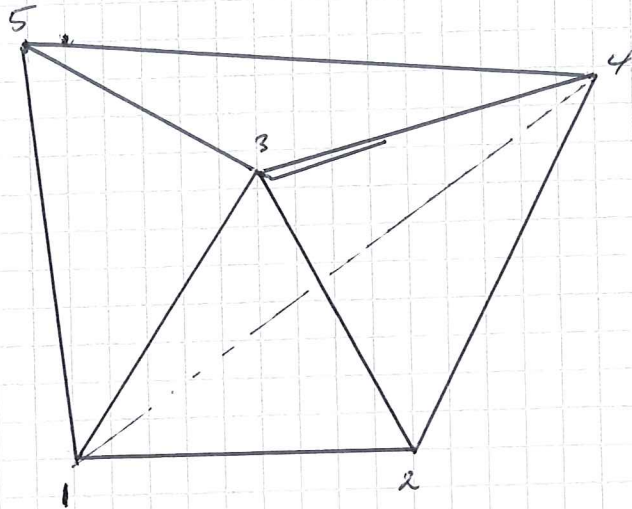


En linje inneholder ingen epsilon-kuler,  
så det indre av  $g(D_\epsilon) \cap h(D_\epsilon)$  må  
være tom.

3.6.1

$$V = 5, f = 6$$

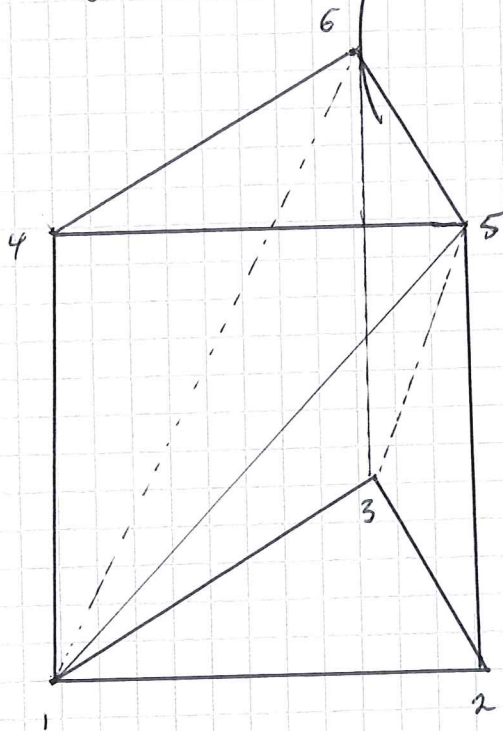
$$e = V + f - 2 = 9$$



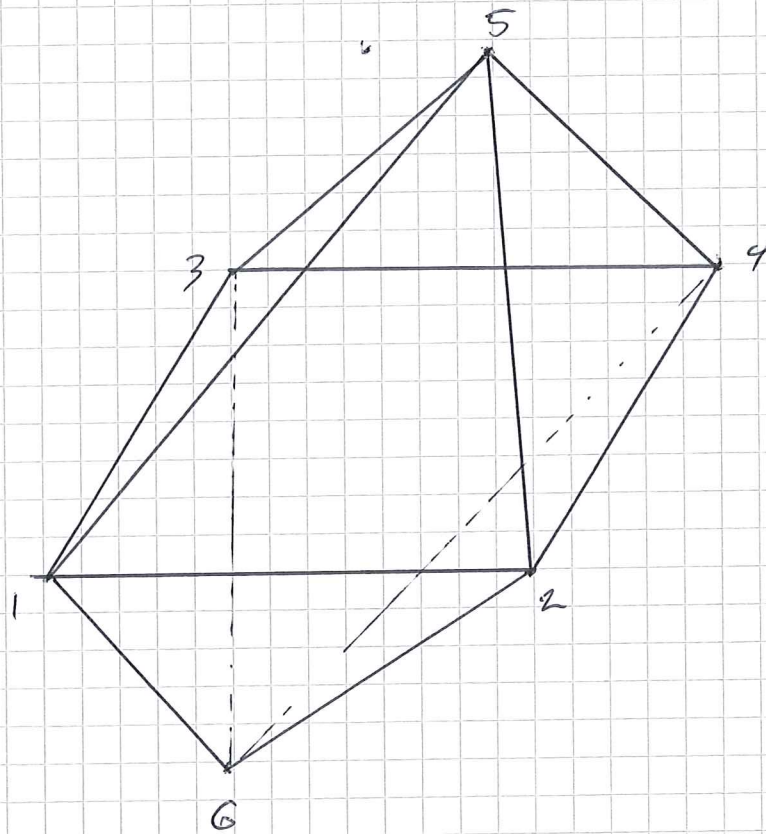
Sammenstilling  
av to tetraedre  
langs en sideflate

$$V = 6, f = 8$$

$$e = V + f - 2 = 12$$

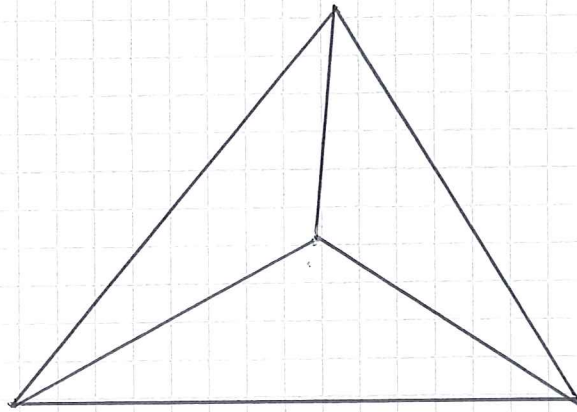


to trekanter over hverandre forbundet  
med 6. Kanter langs tilhørende hjørner,  
og en oppdeling av de rektangulære vertikale  
sideflatene til trekanter.



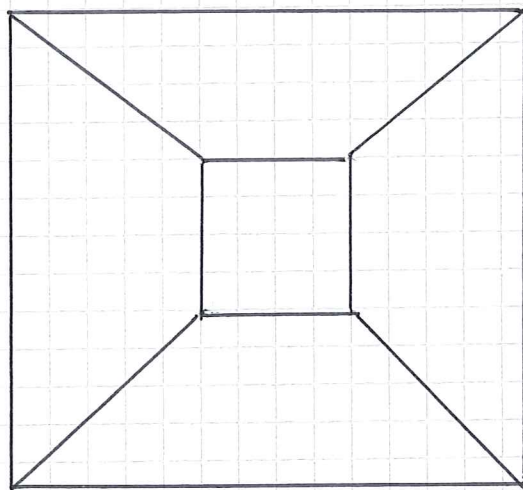
To pyramider limt sammen langs  
grønn flatene. ~~oktaedron~~ oktaeder.

21. Tetraeder:

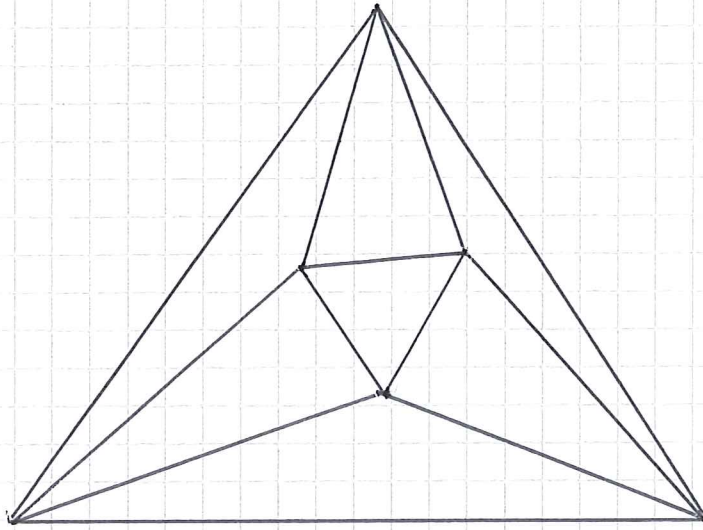


Schlegel diagram

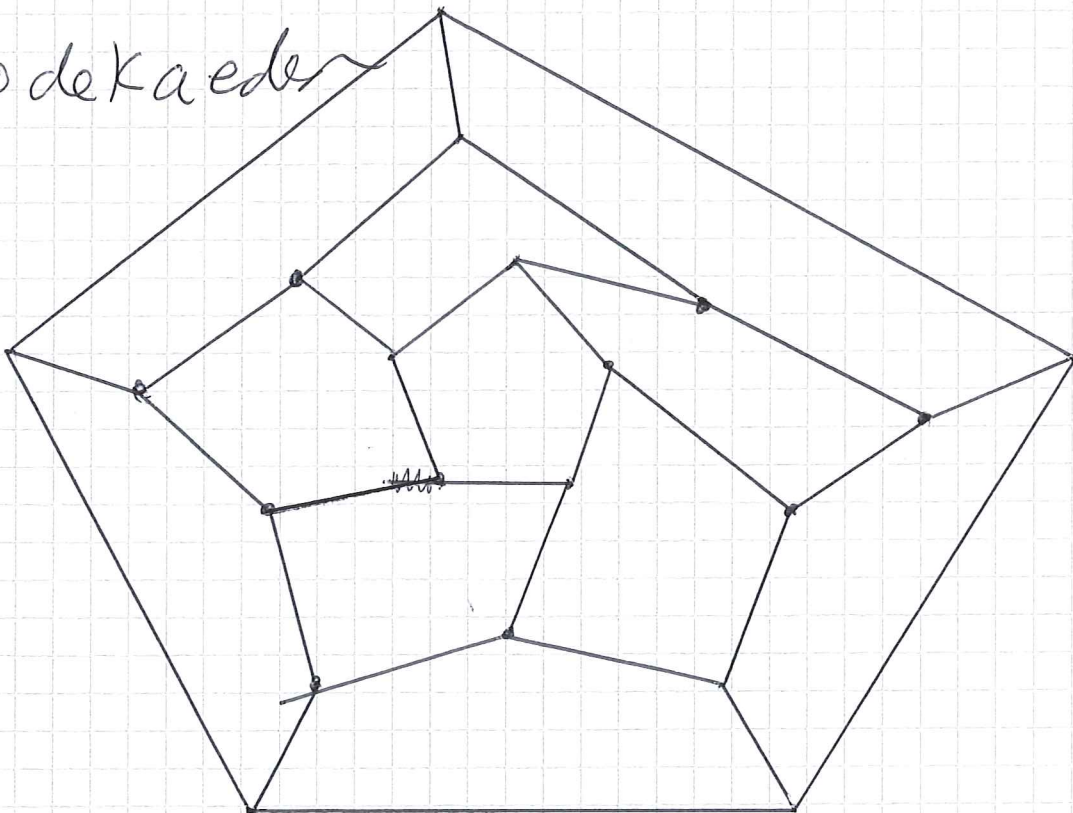
Kube:



Oktaeder



Dodekaeder





Icosaeder

